

Processamento Digital de Sinais

Introdução ao Processamento Adaptativo de Sinais Digitais

1. Introdução

O objetivo deste estudo é estabelecer os conceitos básicos em que se fundamenta o processamento adaptativo de sinais (*Adaptive Digital Signal Processing - ADSP*). Para tal propósito é apresentada a descrição e a análise do Combinador Linear Adaptativo (*Adaptive Linear Combiner - ALC*), que é o módulo funcional básico dos sistemas utilizados em ADSP. O processo adaptativo aplicado ao ALC é descrito no contexto da Filtragem Adaptativa. É apresentado o processo de minimização de funções de custo. As funções de custo são convenientemente definidas, de forma a medir o quanto o processo adotado está sendo incapaz de reduzir o erro de adaptação. Os procedimentos adaptativos envolvem deslocar o ponto de operação de algum particular algoritmo em direção ao ponto de mínimo (ou vale) da superfície de erro definida para avaliar o desempenho deste algoritmo.

2. Sistemas Adaptativos

Um sistema adaptativo é aquele cuja estrutura é alterável ou ajustável, de tal forma que seu comportamento ou desempenho melhore, de acordo com algum critério desejado, através da exposição ao ambiente no qual está inserido.

O ADSP faz de nós, pesquisadores, meros (e tardios) imitadores da natureza. Os exemplos de processos naturais adaptativos nos cercam de forma abundante e estão presentes em múltiplas funções, em nosso próprio organismo. Apesar de sermos

organismos biológicos – em muitos sentidos – adaptativos, inseridos em um ecossistema essencialmente adaptativo e submetidos a processos sociais que resultam em alterações individuais e coletivas ajustadas a mudanças no ambiente cultural que nos cerca, demoramos até 1960 para começar a aplicar tal heurística a nossos problemas de engenharia...

Modelar um sistema adaptativo, por exemplo, nada mais é do que imitar o comportamento da pupila face a variações da quantidade de luz incidente, ou imitar um simples organismo biológico cuja estrutura se torna melhor ajustada a sobreviver e a se multiplicar em um ambiente mutável.

Em engenharia, um exemplo simples de um sistema adaptativo é o controle de ganho automático usado em receptores de rádio e televisão. A função deste circuito é ajustar a sensibilidade do receptor inversamente, à medida que é elevado o nível médio do sinal recebido. O receptor é apto a adaptar seu fator de amplificação global para um grande intervalo de níveis do sinal recebido (ampla faixa dinâmica), produzindo um nível de sinal de saída o mais constante possível.

As aplicações de sistemas adaptativos à engenharia abrangem uma ampla gama de campos, entre eles (apenas para citar alguns) estão: aplicações em comunicações, radar, sonar, sismologia, projeto mecânico, sistemas de navegação, engenharia biomédica, etc..

Os sistemas adaptativos costumam apresentar todas ou algumas das seguintes características:

1. Adaptação automática (auto-otimizada) em face a ambientes e sistemas que variam com o tempo (não-estacionários).
2. Podem ser treinados para desempenhar tarefas específicas, tais como filtragem e tomada de decisões; ou seja, podem sintetizar sistemas responsáveis por estas tarefas através de um processo de treinamento.

3. Devido às características 1 e 2, não requerem procedimentos de síntese elaborados, usualmente necessários para sistemas não-adaptativos. Sistemas adaptativos tendem a se "auto-projetar".
4. Podem extrapolar um modelo de comportamento para lidar com novas situações, após terem sido treinados com um finito e freqüentemente pequeno número de sinais (ou padrões) de treino.
5. Dentro de certos limites, podem se auto-restaurar; ou seja, podem se adaptar "ao redor" de certos tipos de defeitos internos.
6. Podem ser descritos como sistemas lineares ou não-lineares, com parâmetros que variam no tempo (um exemplo de sistema adaptativo não-linear é uma Rede Neural Artificial).
7. Em geral, são mais complexos e difíceis de analisar do que sistemas não-adaptativos, mas oferecem a possibilidade de apresentar um desempenho substancialmente melhor quando as características dos sinais de entrada são desconhecidas ou variantes no tempo.

A principal (e essencial) propriedade de um sistema adaptativo é seu desempenho auto-ajustável, variante com o tempo.

Não necessitaríamos de sistemas adaptativos se fôssemos capazes de projetar um sistema "fixo" (não-adaptativo), considerado ótimo, para o qual tivéssemos previsto todas as possíveis condições de entrada (pelo menos em um sentido estatístico) e do qual soubéssemos exatamente qual desempenho esperaríamos sob cada uma destas condições. Precisariamos estabelecer um critério específico para avaliação do desempenho do sistema a ser projetado e escolher (dentre uma classe restrita de projetos desenvolvidos *a priori*) o modelo de sistema que apresentasse melhor desempenho, de acordo com o critério previamente selecionado.

No entanto, na maioria dos problemas extraídos do universo dos problemas práticos (especialmente aqueles problemas com que nossos chefes ou orientadores costumam nos apresentar), não é conhecido o intervalo completo das condições de entrada (nem mesmo estatisticamente) ou as condições podem mudar ao longo do tempo. Em tais circunstâncias, um sistema adaptativo pode buscar continuamente a classe ótima dentre um conjunto de classes de possibilidades, usando um processo de busca ordenado, apresentando, assim, um desempenho superior comparativamente ao desempenho do sistema não-adaptativo.

O desenvolvimento dos algoritmos adaptativos é devido grandemente ao clássico trabalho de Widrow e Hoff (1960), no qual foi apresentado, pela primeira vez o algoritmo *Least-Mean-Square* (LMS), também conhecido como a Regra Delta.

O ALC é o bloco funcional básico das aplicações concernentes a processamento de sinais. Além da imensurável contribuição à ciência trazida pelos professores Widrow e Hoff através do processamento adaptativo de sinais, outra contribuição de valor no mínimo identicamente comparável foi a possibilidade de o modelo do ALC e a regra de adaptação proposta terem inspirado o desenvolvimento do Perceptron elementar. O Perceptron elementar é a menor estrutura que pode apresentar uma Rede Neural Artificial, reconhecidamente a ferramenta mais "poderosa", senão a única capaz de lidar com processos (geradores de conjuntos de dados) não-lineares e/ou não-estacionários, de cujas descrições não se tenha NENHUM conhecimento *a priori*, quer determinístico, quer estatístico.

3. O Combinador Linear Adaptativo

O grafo de fluxo de sinal de um combinador linear adaptativo é mostrado na Figura 1. Observe que o ALC possui M nós de entrada, aos quais são apresentados N vetores de entrada $\underline{x}(i) \in \mathfrak{R}^M$, $i = 0, 1, \dots, N-1$, um somador (ou combinador linear) e um único sinal de saída, $y(i)$. As conexões entre os nós de entrada do ALC e o somador são representadas

por um conjunto de pesos ajustáveis, descrito pelo vetor $\underline{w}(i) \in \mathfrak{R}^M$, $i = 0, 1, \dots, N-1$, sendo i o índice temporal do passo de adaptação do algoritmo.

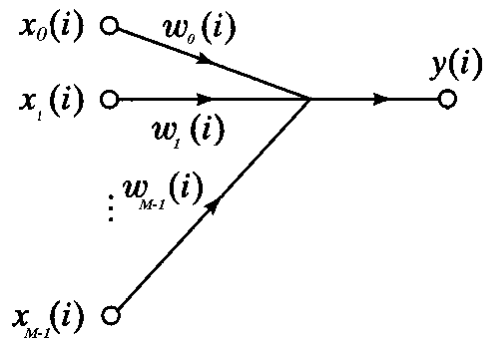


Figura 1: Grafo de fluxo de sinal para o combinador linear adaptativo.

O combinador é dito linear porque, para um conjunto já estabilizado de pesos, sua saída é uma combinação linear dos componentes da entrada. Entretanto, durante o processo de ajuste dos pesos, os pesos se tornam função dos vetores de entrada, e a saída do combinador linear não é uma função linear da entrada.

Há duas maneiras de interpretar fisicamente os elementos do vetor de entrada do combinador linear adaptativo:

1. Os M elementos do vetor $\underline{x}(i)$ podem originar-se de M distintas fontes de informação localizadas em diferentes pontos no espaço, sendo todos os M elementos obtidos no mesmo instante, de todas as M fontes (como, por exemplo, em um *array* de antenas adaptativas).
2. Os M elementos do vetor $\underline{x}(i)$ representam o valor presente e os $M-1$ valores passados de amostras seqüencialmente originadas de uma única fonte de informação (como, por exemplo, em um preditor de séries temporais adaptativo).

Para o caso descrito em 2, o processador adaptativo pode ser implementado com um ALC e elementos de atraso, caso em que é denominado filtro transversal adaptativo. Este

tipo de filtro possui um grande número de aplicações nos campos de modelamento adaptativo e ADSP. A maior parte dos sistemas adaptativos existentes são baseados no uso de filtros transversais adaptativos.

Para o caso descrito em 1, em muitas aplicações, será necessário incluir um peso adicional variável denominado *bias*, cuja entrada do ALC associada é mantida fixa em +1.

A relação entrada-saída para o ALC mostrado na Figura 1 pode ser descrita por

$$y(i) = \sum_{k=0}^{M-1} w_k(i) x_k(i) \quad (1)$$

que, sob a forma vetorial, pode ser expressa como

$$y(i) = \underline{w}^T(i) \underline{x}(i) = \underline{x}^T(i) \underline{w}(i) . \quad (2)$$

Tendo descrito a operação do ALC, podemos agora proceder à discussão sobre a adaptação dos vetores de pesos, ao longo das iterações i . Esta discussão será desenvolvida, para fins didáticos, no contexto da Filtragem Linear Adaptativa, em que o ALC é usado para modelar um desconhecido sistema dinâmico.

4. A Filtragem Adaptativa

Consideremos um sistema dinâmico Γ cuja caracterização matemática é **desconhecida**. O máximo de conhecimento que temos a respeito de Γ é um conjunto finito de dados, que é um subconjunto χ do universo Ω de todos os possíveis mapeamentos entrada-saída que podem ser gerados pelo sistema Γ .

Suponhamos que os elementos do subconjunto χ sejam pares $(\underline{x}(i), d(i)) \in \chi$, onde :

$\underline{x}(i)$ é o i -ésimo vetor M -dimensional de χ aplicado na entrada de Γ e

$d(i)$ é a saída de Γ à entrada $\underline{x}(i)$, $i = 0, 1, \dots, N-1$, sendo

N o número de elementos de χ .

Especificamente, quando um estímulo real M -dimensional $\underline{x}(i) \in \mathfrak{R}^M$ é aplicado aos M nós de entrada do sistema Γ , Γ responde gerando a saída escalar $d(i)$, como mostra a Figura 2(a).

A dimensão M dos vetores $\underline{x}(i)$ é usualmente referida como dimensionalidade do espaço de entrada.

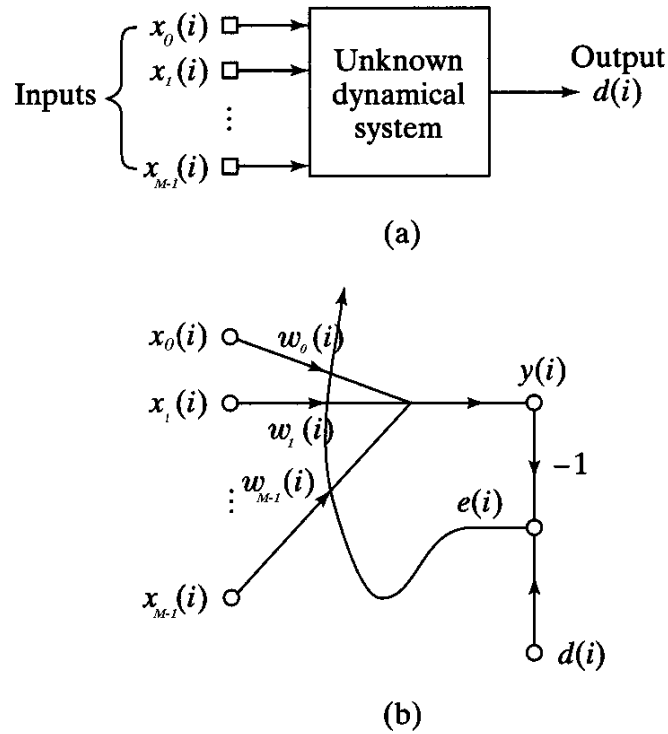


Figura 2: (a) Sistema dinâmico desconhecido Γ . (b) Grafo de fluxo de sinal para o modelo adaptativo do sistema.

Portanto, o comportamento externo do sistema Γ é descrito pelo mapeamento

$$\Gamma : \underline{x}(i) \in \mathfrak{R}^M \rightarrow d(i) \in \mathfrak{R}, \quad i = 0, 1, \dots, N-1, \quad (3)$$

onde $\underline{x}(i)$ é o i -ésimo vetor de χ , definido por

$$\underline{x}(i) = [x_0(i) \quad x_1(i) \quad \dots \quad x_{M-1}(i)]^T. \quad (4)$$

Note que, na grande maioria dos casos, também não se conhece com precisão a distribuição de probabilidade dos elementos do conjunto χ , de modo que a tentativa de resolver um problema de filtragem através de uma abordagem estatística (através da matriz de correlação, por exemplo) não raro conduz a resultados não satisfatórios.

Conforme discutimos na Seção 3, um estímulo $\underline{x}(i)$ aplicado a um sistema Γ pode originar-se de dois cenários fundamentais, um espacial e outro temporal.

Um problema clássico em filtragem adaptativa, conhecido como identificação de sistema, é determinar o modelo que rege o comportamento do sistema dinâmico desconhecido Γ , caracterizado por (3), utilizando para tanto um único ALC. O ALC opera sob a influência de um algoritmo **A** que controla os ajustes necessários às transmitâncias (\equiv pesos) para que, à medida que os ajustes se sucedem, o mapeamento efetuado pelo ALC tenda a aproximar o mapeamento efetuado pelo sistema Γ . Este processo de ajustes sucessivos dos pesos do ALC é efetuado observando as seguintes características:

- O algoritmo **A** inicia o processo de ajuste a partir de um conjunto de transmitâncias (\equiv pesos), com valor inicial arbitrário atribuído a cada uma delas.
- O algoritmo **A** ajusta as transmitâncias do ALC continuamente ao longo do intervalo de operação do sistema Γ , para permitir que eventuais variações no padrão de comportamento de Γ (variações na estatística do comportamento de Γ) também possam influenciar o processo de ajuste.
- Para cada valor de i , o algoritmo **A** deve ser rápido o suficiente para ajustar todas as M transmitâncias do ALC dentro do intervalo de tempo que transcorre entre a ocorrência das entradas $\underline{x}(i)$ e $\underline{x}(i+1)$.

A Figura 2 (b) mostra o grafo de fluxo de sinal de um filtro adaptativo baseado no ALC, aplicado ao contexto de identificação do sistema desconhecido Γ . A operação do filtro consiste de dois processos continuamente executados em seqüência:

1. Processo de Filtragem, o qual envolve o cômputo de dois sinais :

1.1. Uma saída, denotada por $y(i)$, que é produzida em resposta ao vetor estímulo $\underline{x}(i)$.

1.2. Um sinal de erro, denotado por $e(i)$, que é obtido pela comparação da saída $y(i)$ com a saída desejada $d(i)$ correspondente, sendo $d(i)$ produzida por Γ quando o estímulo $\underline{x}(i)$ é aplicado à sua entrada. Em outras palavras, $d(i)$ constitui a resposta desejada ou o sinal alvo (*target signal*).

2. Processo de Adaptação, o qual envolve o ajuste automático dos pesos do ALC através de um algoritmo \mathbf{A} , tendo como base o sinal de erro $e(i)$.

Desta maneira, a combinação destes dois processos (operando em conjunto) constitui um elo de realimentação (*feedback loop*) na operação do ALC. Uma vez tendo sido aplicados todos os N vetores $\underline{x}(i)$ à entrada do ALC e tendo sido executados todos os N ajustes através do algoritmo \mathbf{A} , repete-se novamente as etapas 1 e 2 até que $e(n)$ seja suficientemente pequeno, onde $e(n)$ é o valor do sinal de erro e em um instante n qualquer da operação do filtro.

Uma vez que o ALC é estritamente linear, a saída $y(i)$ é dada por,

$$y(i) = \sum_{k=0}^{M-1} w_k(i) x_k(i), \quad (5)$$

onde $w_k(i)$ é o valor da k -ésima transmitância medida no instante discreto i . Em forma vetorial, podemos expressar $y(i)$ como o produto interno entre os vetores $\underline{x}(i)$ e $\underline{w}(i)$, conforme segue:

$$y(i) = \underline{x}^T(i) \underline{w}(i), \quad (6)$$

onde

$$\underline{w}(i) = [w_0(i) \quad w_1(i) \quad \cdots \quad w_{M-1}(i)]^T. \quad (7)$$

A saída $y(i)$ do ALC é comparada com a saída $d(i)$ do sistema desconhecido Γ no instante discreto i . Tipicamente, a comparação é estabelecida pela diferença entre $d(i)$ e $y(i)$, portanto o processo de comparação define o sinal de erro $e(i)$ dado por

$$e(i) = d(i) - y(i). \quad (8)$$

Observe de (6) e (8) que o sinal de erro $e(i)$ depende do vetor $\underline{w}(i)$. Note também que $\underline{w}(i)$ é o parâmetro livre do ALC que será sucessivamente ajustado pelo algoritmo **A**, objetivando minimizar $e(i)$. Portanto, para que se possa medir a ineficiência do processo de ajuste de \underline{w} , e, em função disto adotar as correções necessárias, é útil definir uma função $J(e)$ (ou $J(\underline{w})$, já que e depende de \underline{w}) que defina da maneira o mais inequívoca possível o “grau de incompetência” do ALC em aproximar sua saída $y(i)$ de $d(i)$.

A função $J(\underline{w})$, cujo valor resultante é uma grandeza escalar real, é denominada de função de custo. A definição de $J(\underline{w})$ deve ser tal que meça o quanto o processo de ajuste está sendo incapaz de reduzir o erro $e(i)$ entre $d(i)$ e $y(i)$. Por exemplo, uma popular definição de J é $J = J(e) = \frac{1}{2} e^2$. Em especial, o algoritmo **A** e a função de custo J idealmente devem ser tais que $J(\underline{w}(n+1)) < J(\underline{w}(n))$, onde n é um instante qualquer do processo de ajuste.

4.1 O Processo de Minimização da Função de Custo

Consideraremos neste estudo o denominado Algoritmo de Descida Mais Íngreme (SD – *Steepest Descent*), por ser um dos mais utilizados, e de baixo custo computacional. Existem, no entanto, outros algoritmos, como o Método de Newton e o Método de Gauss-Newton, que são descritos em [5].

No algoritmo SD os sucessivos ajustes aplicados à \underline{w} estão na direção da descida mais íngreme da superfície $S = H(w_0, w_1, \dots, w_{M-1})$ formada pelos valores escalares H do conjunto imagem de $J(\underline{w})$ em função do domínio M -dimensional $\underline{w} = [w_0 \ w_1 \ \dots \ w_{M-1}]^T$, isto é, $H = J(\underline{w})$. Em outras palavras, os sucessivos ajustes aplicados à \underline{w} estão na direção oposta do vetor gradiente $\underline{\nabla} J(\underline{w})$ da superfície formada por $J(\underline{w})$.

Uma interpretação intuitiva do método SD é imaginarmos um observador míope que enxergue apenas a distância de um passo ao seu redor, caminhando sobre a superfície $J(\underline{w})$, e cujo objetivo é chegar ao ponto de cota mínima de $J(\underline{w})$ o mais rapidamente possível. No instante n o observador, localizado na coordenada $\underline{w}(n)$, olha ao redor e localiza a direção $\underline{\nabla} J(\underline{w}(n))$ de subida mais íngreme em $J(\underline{w})$. A seguir o observador dá um passo na direção contrária à $\underline{\nabla} J(\underline{w}(n))$ de tamanho proporcional à declividade $|\underline{\nabla} J(\underline{w}(n))|$ encontrada na coordenada $\underline{w}(n)$ e desloca-se para a nova coordenada $\underline{w}(n+1)$. Supondo que não existam mínimos locais (buracos e/ou depressões) na superfície $J(\underline{w})$ de diâmetro algo maior que o passo do observador, o mesmo atingirá a cota mínima $J(\underline{w}^*)$ na coordenada \underline{w}^* após repetir este procedimento um número suficiente de vezes.

Formalmente, o algoritmo SD é descrito por

$$\underline{w}(n+1) = \underline{w}(n) - \eta \underline{\nabla} J(\underline{w}(n)), \quad (9)$$

onde $\eta > 0$ é chamado passo de adaptação (*stepsize*) ou razão de aprendizado (*learning rate*).

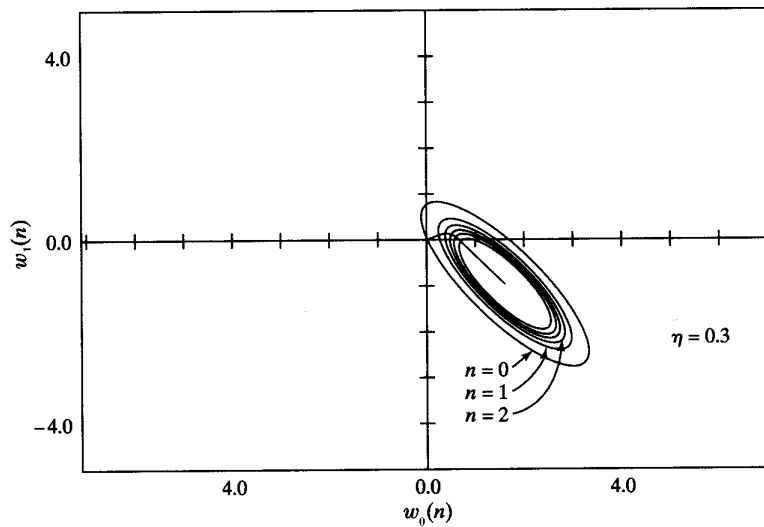
Para a função de custo $J(n) = J(\underline{w}(n)) = \frac{1}{2}e^2(n)$, a superfície $J(\underline{w})$ é um parabolóide $M+1$ -dimensional (i.e., uma “tigela” em \Re^{M+1} , não necessariamente de boca circular), e, portanto, apresenta um mínimo global mas não apresenta mínimos locais (qualquer função quadrática possui um e somente um mínimo). Por isto, para esta função de custo, o algoritmo SD converge para \underline{w}^* de modo lento mas seguro desde que η não seja demasiadamente grande (caso em que o observador míope pularia fora da “tigela”).

➡ É importante observar que o passo de adaptação η tem profunda influência na trajetória do “observador míope” até a convergência para \underline{w}^* , e, não raro, o valor de η é alterado convenientemente ao longo do processo de minimização de J para que η se adeque às exigências da coordenada instantânea da trajetória. Para filtros cuja função de custo é $J(n) = J(\underline{w}(n)) = \frac{1}{2}e^2(n)$ são válidas as seguintes observações:

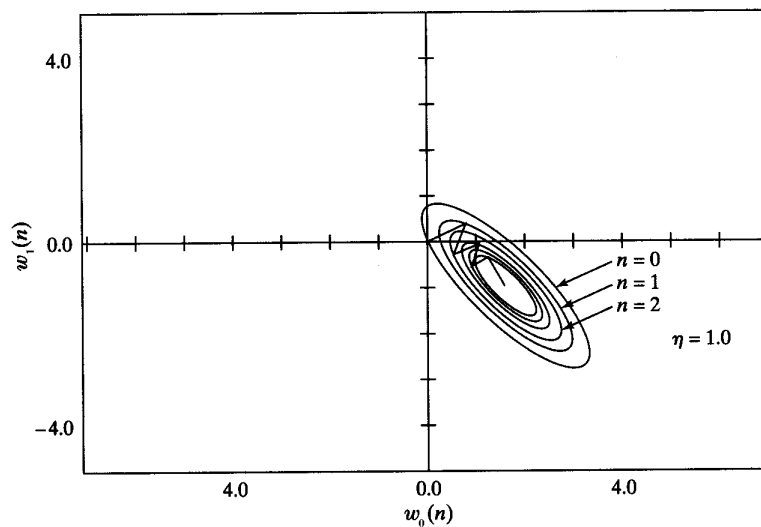
• Para η pequeno, a resposta transiente do algoritmo SD é super-amortecida (*overdamped*) e a trajetória percorrida por $\underline{w}(n)$ é uma curva suave em \Re^M , conforme mostrado na Figura 3(a).

• Para η grande, a resposta transiente do algoritmo SD é sub-amortecida (*underdamped*) e a trajetória percorrida por $\underline{w}(n)$ é uma curva em zig-zag (oscilatória) em \Re^M , conforme mostrado na Figura 3(b).

• Para η acima de um determinado valor crítico, o algoritmo SD torna-se instável e termina divergindo.



(a)



(b)

Figura 3: Trajetória do método de Descida Mais Íngreme (*steepest descent*) em um espaço bi-dimensional, para dois valores diferentes de parâmetro razão de aprendizado: (a) $\eta = 0.3$, (b) $\eta = 1.0$. As coordenadas w_0 e w_1 são elementos do vetor de pesos \underline{w} .

5. O Algoritmo LMS

O Algoritmo LMS (*Least Mean Square*) procura minimizar uma função de custo J definida por $J = J(e) = \frac{1}{2} e^2$ com base nos valores instantâneos da mesma, isto é,

$$J = J(e(n)) = \frac{1}{2} e^2(n), \quad (10)$$

onde $e(n)$ é o sinal de erro medido em um instante n qualquer do processo de minimização de J .

Nota: Diferentemente do algoritmo **LMS**, apenas como exemplo comparativo, o algoritmo **RLS** (*Recursive Least Squares*) baseia-se em uma função de custo J definida por uma soma ponderada do erro quadrático $e^2(n)$ do instante atual n com os erros quadráticos ocorridos anteriormente a n , isto é, $J(n) = \beta_0 e^2(n) + \beta_1 e^2(n-1) + \beta_2 e^2(n-2) + \dots$, onde $0 < \beta_k \leq 1$ são os coeficientes de ponderação. Os coeficientes β_k são tais que $\beta_k > \beta_{k+1}$, de forma que erros ocorridos em um passado distante sejam “esquecidos” por J objetivando minimizar sua influência sobre ela. Assim, se o conjunto χ de $(\underline{x}(n), d(n)) \in \chi$ (entradas, saídas desejadas) não for um processo estacionário (i.e., os parâmetros estatísticos de χ variam com o tempo), o “esquecer do passado” auxilia a melhorar a velocidade de convergência. No entanto, como é fácil perceber, o custo computacional do algoritmo RLS é maior que o do algoritmo LMS, o que o torna inadequado para certas aplicações que requeiram alta velocidade de processamento, como por exemplo, em equalização de canal para um *link* de microondas com alta taxa de transmissão.

O gradiente $\underline{\nabla} J(\underline{w}(n))$ da superfície $J(n) = J(\underline{w}(n)) = \frac{1}{2} e^2(n)$ no instante n é obtido através da variação de $J(\underline{w}(n))$ em resposta a uma variação infinitesimal na coordenada $\underline{w}(n)$, isto é,

$$\underline{\nabla} J(\underline{w}(n)) = \frac{\partial J(\underline{w}(n))}{\partial \underline{w}(n)}, \quad (11)$$

mas, visto que $J(\underline{w}(n)) = \frac{1}{2} e^2(n)$, temos

$$\underline{\nabla} J(\underline{w}(n)) = \frac{\partial \left\{ \frac{1}{2} e^2(n) \right\}}{\partial \underline{w}(n)} = e(n) \frac{\partial e(n)}{\partial \underline{w}(n)}. \quad (12)$$

Vimos que

$$e(n) = d(n) - y(n) = d(n) - \underline{x}^T(n) \underline{w}(n) \quad (13)$$

e, como $d(n)$ não depende de $\underline{w}(n)$, temos que

$$\frac{\partial e(n)}{\partial \underline{w}(n)} = -\underline{x}(n). \quad (14)$$

De (14) e (12) temos

$$\underline{\nabla} J(\underline{w}(n)) = -e(n) \underline{x}(n) \quad (15)$$

e, substituindo (15) em (9), encontraremos para $\underline{w}(n+1)$,

$$\underline{w}(n+1) = \underline{w}(n) + \eta e(n) \underline{x}(n), \quad (16)$$

onde η é o passo de adaptação ou razão de aprendizado.

A Equação (16) define o processo de ajuste do vetor de pesos \underline{w} de um ALC objetivando minimizar J através do algoritmo LMS.

É instrutivo comparar os algoritmos SD e LMS utilizando a alegoria do “observador míope”, cujo objetivo é atingir o mais rapidamente possível a coordenada \underline{w}^* , a qual define a coordenada da cota mínima da superfície $J(\underline{w})$.

No algoritmo SD, o observador localizado na coordenada $\underline{w}(n)$ olha ao redor, localiza a direção $\underline{\nabla} J(\underline{w}(n))$ de subida mais íngreme na superfície $J(\underline{w})$ e dá um passo em direção contrária à ela, conforme já discutido. O ato de “olhar ao redor” significa matematicamente ter o conhecimento da

- matriz de correlação \mathbf{R} do conjunto de vetores de entrada \underline{x} , e
- do vetor de correlação cruzada \underline{p} entre o conjunto de saídas desejadas d e o conjunto de vetores \underline{x} .

O conhecimento destes elementos é necessário porque, no algoritmo SD, o gradiente no instante n é calculado através de $\nabla J(\underline{w}(n)) = -2\underline{p} + 2\mathbf{R}\underline{w}(n)$ (conforme S. Haykin em *Adaptive Filter Theory*, referenciado em [4]).

No algoritmo LMS, o observador não é somente míope como também é totalmente cego. O observador, localizado na coordenada $\underline{w}(n)$, consegue “observar” sua posição relativa porque segura em sua mão um cordão infinitamente elástico cuja outra extremidade encontra-se fixa na coordenada \underline{w}^* . A cada instante n , o observador dá um passo na direção em que ele percebe a maior redução na tensão τ do elástico (diminuição do valor absoluto do erro $e(n)$), com tamanho de passo proporcional à redução de τ . Como não existem mínimos locais na superfície $J(\underline{w})$, porque ela é quadrática, o observador se aproximará da cota mínima $J(\underline{w}^*)$ na coordenada \underline{w}^* após repetir este procedimento um número suficiente de vezes. Note que, como o tamanho e sentido do passo do observador dependem da redução na tensão τ do elástico, quando o observador chegar próximo à coordenada \underline{w}^* ele ficará eternamente “pulando” sobre e ao redor dela a menos que, por um raro golpe de sorte, a coordenada resultante do último passo do observador coincida com \underline{w}^* (situação que ocorrerá para um valor bastante particular e crítico de η e para uma bastante particular coordenada inicial \underline{w}^0 da trajetória do observador). Apesar disto, o algoritmo LMS tem a vantagem de não necessitar do conhecimento de \mathbf{R} e de \underline{p} , ao contrário do algoritmo SD.

Em suma, no algoritmo SD o vetor $\underline{w}(n)$ segue uma trajetória bem definida no espaço de pesos, para um valor não excessivo de η . Em contraste, no algoritmo LMS o vetor $\underline{w}(n)$ segue uma trajetória aleatória, especialmente nas vizinhanças de \underline{w}^* .

A Tabela 3.1 apresenta um sumário do procedimento do algoritmo LMS.

| | |
|--|--|
| Conjunto de Treino: | Sinal de entrada em forma vetorial = $\underline{x}(n)$ Sinal resposta desejada escalar = $d(n)$ |
| Parâmetro ajustável pelo usuário: | η |
| Inicialização do vetor \underline{w} : | $\underline{w}^0 = \underline{w}(0) = \underline{0}$ |
| Procedimento Computacional: | Para $n = 0, 1, \dots$ computar $e(n) = d(n) - \underline{x}^T(n)\underline{w}(n)$ $\underline{w}(n+1) = \underline{w}(n) + \eta e(n)\underline{x}(n)$ |

Tabela 3.1: Sumário do algoritmo LMS. O Procedimento Computacional é executado até que a média de $e^2(n)$ atinja um patamar suficientemente baixo para a solução do problema em questão ou estabilize em um valor constante.

5.1 Considerações quanto à Convergência do LMS

Combinando (13) e (16) podemos expressar a evolução do vetor \underline{w} através de

$$\begin{aligned} \underline{w}(n+1) &= \underline{w}(n) + \eta \underline{x}(n) [d(n) - \underline{x}^T(n)\underline{w}(n)] = \underline{w}(n) + \eta \underline{x}(n)d(n) - \eta \underline{x}(n)\underline{x}^T(n)\underline{w}(n) = \\ &= [\mathbf{I} - \eta \underline{x}(n)\underline{x}^T(n)]\underline{w}(n) + \eta \underline{x}(n)d(n), \end{aligned} \quad (17)$$

onde \mathbf{I} é a matriz identidade.

O processo de ajuste do vetor $\underline{w}(n)$ é uma operação iterativa indexada pela variável inteira n . Em função disto, podemos então reconhecer que o valor de $\underline{w}(n+1)$ será o valor de $\underline{w}(n)$ quando a variável n for incrementada de 1 na próxima iteração. Em outras palavras, o valor obtido de (17) para $\underline{w}(n+1)$ no instante n é armazenado em uma posição de memória para ser utilizado como o valor de $\underline{w}(n)$ em (17) no instante $n+1$.

No domínio z , esta relação entre $\underline{w}(n)$ e $\underline{w}(n+1)$ é expressa por

$$\mathbf{Z}\{\underline{w}(n)\} = z^{-1}\mathbf{Z}\{\underline{w}(n+1)\} \quad (18)$$

onde $\mathbf{Z}\{\cdot\}$ é o operador Transformada Z e z^{-1} é o operador atraso unitário (*unit delay*). A partir das equações (17) e (18) podemos representar o algoritmo LMS através do grafo de fluxo de sinal mostrado na Figura 4.

A Figura 4 revela que o algoritmo LMS pode ser considerado como um sistema realimentado, já que existem dois *loops* de *feedback*, um superior e outro inferior. A presença de realimentação exerce um profundo impacto no comportamento do algoritmo LMS, visto que os parâmetros dos *loops* definem a estabilidade da trajetória dos estados de qualquer sistema realimentado.

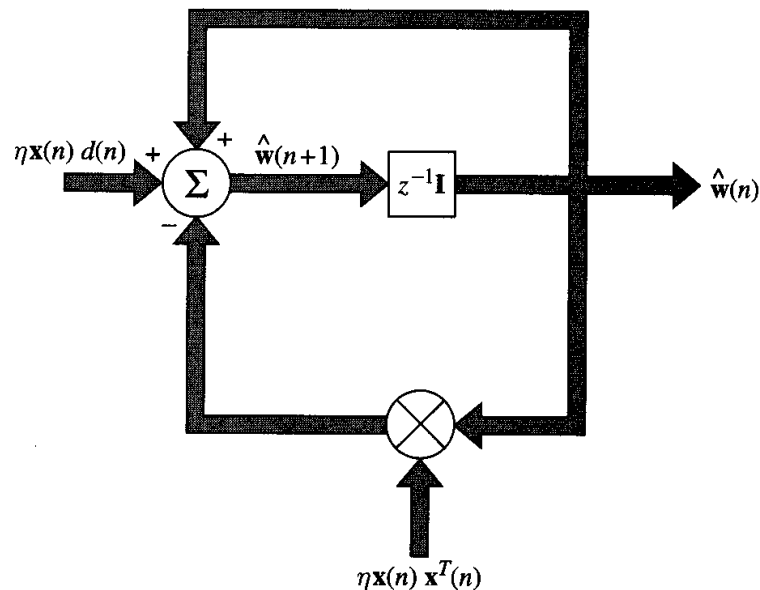


Figura 4: Grafo de fluxo de sinal representativo do algoritmo LMS.

Observe na Figura 4 que o *loop* inferior impõe variabilidade ao comportamento do LMS, particularmente porque a transmitância deste *loop* é controlada pela matriz $\eta \underline{x}(n)\underline{x}^T(n)$, a qual depende do vetor de entrada $\underline{x}(n)$, com parâmetro de controle dado pela razão de aprendizado η . Infere-se, portanto, que a estabilidade da trajetória de $\underline{w}(n)$ é

influenciada pelas características estatísticas do conjunto de vetores de entrada \underline{x} e pelo valor da razão de aprendizado η .

Expressando este fato de outro modo, para um dado conjunto de vetores de entrada \underline{x} deve-se escolher η tal que a trajetória de $\underline{w}(n)$ seja estável o suficiente para permitir a convergência para as vizinhanças de \underline{w}^* . A convergência da trajetória de $\underline{w}(n)$ para as vizinhanças de \underline{w}^* é caracterizada por uma constância no valor médio de $e^2(n)$.

Como regra geral, a razão de aprendizado η deve obedecer à relação:

$$0 < \eta < \frac{2}{\frac{1}{N} \sum_{i=0}^{N-1} \underline{x}^T(i)\underline{x}(i)}, \quad (19)$$

onde N é o número total de vetores no conjunto de vetores de entrada \underline{x} .

6. Referências Bibliográficas

- [1] B. Widrow e S. D. Stearns, *Adaptive Signal Processing*, Prentice Hall, Englewood Cliffs, New Jersey, 1985.
- [2] M. H. Hassoun, *Fundamentals of Artificial Neural Networks*, MIT Press, Massachusetts, 1995.
- [3] R. D. Strum e D. E. Kirk, *First Principles of Discrete Systems and Digital Signal Processing*, Addison-Wesley, 1989.
- [4] S. Haykin, *Adaptive Filter Theory*, 3rd ed., Prentice Hall, Upper Saddle River, New Jersey, 1996.
- [5] S. Haykin, *Neural Networks*, 2nd ed., Prentice Hall, Upper Saddle River, New Jersey, 1999.